
По мотивам задачника

О преобразовании Гаусса — Ландена*

Г. Б. Шабат

§ 0. ВВЕДЕНИЕ

В 2017 г. в сборнике «Математическое просвещение» была поставлена задача 21.11 (см. [5, с. 273]), которую мы приводим в чуть-чуть изменённых обозначениях:

(★) Пусть a, b — положительные вещественные числа. Их арифметическое и геометрическое средние определяются как

$$a_1 := \frac{a+b}{2}, \quad b_1 := \sqrt{ab}.$$

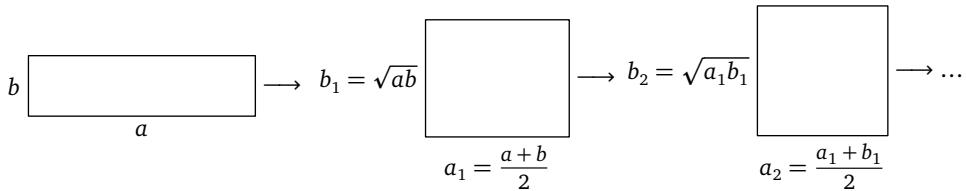
Докажите, что

$$\int_{-\infty}^{\infty} \frac{du}{\sqrt{(u^2 + a^2)(u^2 + b^2)}} = \int_{-\infty}^{\infty} \frac{du}{\sqrt{(u^2 + a_1^2)(u^2 + b_1^2)}}.$$

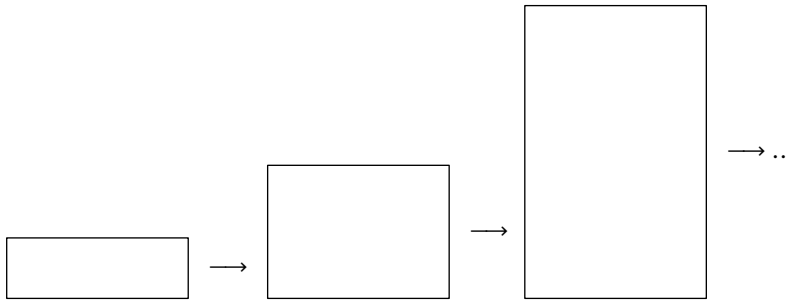
Предложенная для доказательства формула — классический результат, относящийся к математике конца XVIII – начала XIX века. Эта формула, её частные случаи и следствия из неё были предметом многолетних исследований Лагранжа и Гаусса — см. [2]. В настоящей статье мы обсудим формулу и связанную с ней математику, широко пользуясь средствами нашего времени.

* Джон Ланден (1719–1790) — английский математик. В 1755 году он выразил длину дуги гиперболы как сумму двух длин дуг эллипса, что впоследствии привело к преобразованию Ландена, связанному с материалом настоящей статьи.

Упомянем постановку геометрической задачи, связанной с одновременным рассмотрением арифметического и геометрического средних: *построить квадрат, наиболее близкий к заданному прямоугольнику*. Эту задачу можно уточнить двумя способами: *построить квадрат с тем же периметром, что заданный прямоугольник*, и *построить квадрат с той же площадью, что заданный прямоугольник*. Смешав эти два уточнения и итерируя, получим последовательность прямоугольников, очень быстро становящихся неотличимыми от квадратов¹⁾:



В последующих параграфах будет приведено полное решение задачи (★), по существу заимствованное из дневников Гаусса. Однако *полное понимание* этого решения будет основано на связи приведённой последовательности прямоугольников с другой, в которой вертикальные стороны прямоугольников последовательно удваиваются²⁾:



Вышеуказанная последовательность итераций и объясняет интерес к рассматриваемой конструкции. Введя начальную пару положительных вещественных чисел $(a_0, b_0) := (a, b)$, рассмотрим две последовательности

$$a_{n+1} := \frac{a_n + b_n}{2}, \quad b_{n+1} := \sqrt{a_n b_n}.$$

¹⁾ Пример (в пикселях, $a = a_0$, $b = b_0$):

n	a_n	b_n
0	80	20
1	50	40
2	45	44,721...
3	44,860...	44,860...

²⁾ Настоящая работа завершается изложением этой конструкции удвоения.

Нетрудно доказать (читатель может сделать это самостоятельно или обратиться к [2]), что эти последовательности имеют общий предел, который называется *арифметико-геометрическим средним* чисел a, b и обозначается³⁾

$$\text{agM}(a, b) := \lim_{n \rightarrow \infty} a_n = \lim_{n \rightarrow \infty} b_n.$$

Обе последовательности сходятся необычайно быстро. И во времена Лагранжа и Гаусса, и в наше время их пределы используются для приближённого вычисления интегралов, которым посвящена настоящая работа. (Подобные интегралы называются *эллиптическими*, поскольку возникли при вычислении длины дуги эллипса. Начиная с XVIII века они широко применяются и в математике, и в её разнообразных приложениях.) Дело в том, что, согласно (★), в очевидных обозначениях

$$\text{agM}(a, b) = \text{agM}(a_1, b_1) = \text{agM}(a_2, b_2) = \dots = \text{agM}(a_\infty, b_\infty),$$

и

$$\int_{-\infty}^{\infty} \frac{du}{\sqrt{(u^2 + a_\infty^2)(u^2 + b_\infty^2)}} = \int_{-\infty}^{\infty} \frac{du}{u^2 + a_\infty^2} = \frac{\pi}{a_\infty},$$

откуда получаем связь между арифметико-геометрическим средним и эллиптическим интегралом:

$$\text{agM}(a, b) = \frac{\pi}{\int_{-\infty}^{\infty} \frac{du}{\sqrt{(u^2 + a^2)(u^2 + b^2)}}}.$$

Поскольку левая часть этого равенства (по крайней мере с использованием современных компьютеров) легко вычисляется с любой точностью, знание достаточно хороших приближений числа π позволяет приближённо вычислять *произвольные* эллиптические интегралы. И наоборот, эта же формула позволяет на основе знания *некоторых* эллиптических интегралов с потрясающей точностью вычислять π — см. монографию [1].

§ 1. ЧИСЛЕННЫЕ ЭКСПЕРИМЕНТЫ

Обсуждаемый нами факт — равенство двух положительных вещественных чисел; современные технологии позволяют быстро проверить его с любой точностью. Например, положив, как в рассмотренном выше

³⁾ От слов *arithmetic-geometric Mean*.

примере, $a_0 = 2$, $b_0 = 18$ (чтобы следующая пара значений $a_1 = 6$, $b_1 = 10$ была рациональна), с помощью программы MAPLE получаем

$$\frac{1}{9}\text{EllipticK}\left(\frac{4}{9}\sqrt{5}\right) = \frac{1}{5}\text{EllipticK}\left(\frac{4}{5}\right).$$

Это равенство мало что скажет читателю, незнакомому с эллиптическими функциями и, в частности, с функцией EllipticK ; однако сам факт выдачи такого результата говорит о том, что рассматриваемые интегралы присутствуют в библиотеке *специальных функций* этой программы.

Правда, если попросить MAPLE указать численные значения вычисленных интегралов, то на экране появится «равенство»

$$,3990605528 = ,3990605556,$$

т. е. совпадут только 8 десятичных знаков из 10.

Если, однако, настроить MAPLE на вычисления с 20 десятичными знаками, то «равенство» уточнится:

$$,39906055553294587753 = ,39906055553294587754.$$

Теперь совпадают 19 знаков из 20, и сомнения развеиваются.

Особую роль в истории математики сыграло вычисление Гаусса, датированное 30 мая 1799 года (см. [3, III, с. 361–371]). В наших обозначениях оно соответствует значениям $a = \sqrt{2}$, $b = 1$:

$$\begin{aligned} \int_{-\infty}^{\infty} \frac{du}{\sqrt{(u^2+2)(u^2+1)}} &= \int_{-\infty}^{\infty} \frac{du}{\sqrt{(u^2+1,207106\dots^2)(u^2+1,189207\dots^2)}} = \\ &= \int_{-\infty}^{\infty} \frac{du}{\sqrt{(u^2+1,198156\dots^2)(u^2+1,198123\dots^2)}} = \\ &= \int_{-\infty}^{\infty} \frac{du}{\sqrt{(u^2+1,198140\dots^2)(u^2+1,198140\dots^2)}} \approx \\ &\approx \int_{-\infty}^{\infty} \frac{du}{u^2+1,198140\dots^2} = \frac{\pi}{1,198140\dots} = 2,6220575542921198103\dots \end{aligned}$$

Во времена Гаусса это число было хорошо известно, и для него было введено специальное обозначение:

$$2,6220575542921198103\dots =: \varpi.$$

Оно⁴⁾ представляет собой *альтернативное* π . Дело в том, что со времён Эйлера эти два числа использовались параллельно:

$$\pi := \int_{-1}^1 \frac{dx}{\sqrt{1-x^2}} = 3,141592\dots, \quad \varpi := \int_{-1}^1 \frac{dx}{\sqrt{1-x^4}} = 2,622057\dots$$

Число 1,98140..., которое во введении получило обозначение $\text{agM}(\sqrt{2}, 1)$, оказалось удовлетворяющим равенству

$$\text{agM}(\sqrt{2}, 1) = \frac{\pi}{\varpi}.$$

В своём дневнике Гаусс пишет, связав обнаруженное равенство с проведёнными им ранее вычислениями длины лемнискаты: *доказательство этого факта несомненно откроет совершенно новую область анализа.*

Предсказание сбылось! Мы расскажем об этом в § 3 настоящей статьи.

§ 2. ПОДСТАНОВКА, ПОДСМОТРЕННАЯ У ГАУССА

В этом параграфе опять a и b — вещественные числа, удовлетворяющие неравенствам

$$a \geq b > 0, \quad (2.0)$$

и по ним строятся новые два:

$$a_1 = \frac{a+b}{2}, \quad b_1 = \sqrt{ab}. \quad (2.1)$$

Предложение. *Подстановка*

$$u = \sqrt{\frac{u_1^2 + b_1^2}{u_1^2 + a_1^2}} u_1 \quad (2.2)$$

устанавливает требуемое равенство:

$$\int_{-\infty}^{\infty} \frac{du}{\sqrt{(u^2 + a^2)(u^2 + b^2)}} = \int_{-\infty}^{\infty} \frac{du_1}{\sqrt{(u_1^2 + a_1^2)(u_1^2 + b_1^2)}}. \quad (2.3)$$

Доказательство. Начнём с дифференциалов.

Лемма 1. *Выполнено равенство*

$$du = \frac{u_1^4 + 2a_1^2 u_1^2 + a_1^2 b_1^2}{u_1^2 + a_1^2} \frac{du_1}{\sqrt{(u_1^2 + a_1^2)(u_1^2 + b_1^2)}}. \quad (2.4)$$

⁴⁾ В Т_ЕX-е эта буква ϖ называется *varpi* (варпи). Подобно этому, существуют ϑ , ϱ , φ наряду с θ , ρ , ϕ .

Доказательство. Действительно, согласно стандартным формулам

$$\begin{aligned} du &=_{(2.2)} d\left(\left(\frac{u_1^2 + b_1^2}{u_1^2 + a_1^2}\right)^{1/2} u_1\right) = u_1 d\left(\left(\frac{u_1^2 + b_1^2}{u_1^2 + a_1^2}\right)^{1/2}\right) + \left(\left(\frac{u_1^2 + b_1^2}{u_1^2 + a_1^2}\right)^{1/2}\right) du_1 = \\ &= \frac{1}{2} u_1 \left(\left(\frac{u_1^2 + b_1^2}{u_1^2 + a_1^2}\right)^{-1/2}\right) d\left(\frac{u_1^2 + b_1^2}{u_1^2 + a_1^2}\right) + \sqrt{\frac{u_1^2 + b_1^2}{u_1^2 + a_1^2}} du_1. \end{aligned}$$

Воспользовавшись формулой

$$d\left(\frac{\alpha x + \beta}{\gamma x + \delta}\right) = \frac{\alpha\delta - \beta\gamma}{(\gamma x + \delta)^2} dx$$

(здесь подразумевается, что $\alpha, \beta, \gamma, \delta$ постоянны), получим

$$\begin{aligned} du &= \frac{1}{2} u_1 \left(\left(\frac{u_1^2 + a_1^2}{u_1^2 + b_1^2}\right)^{1/2}\right) \frac{a_1^2 - b_1^2}{(u_1^2 + a_1^2)^2} d(u_1^2) + \sqrt{\frac{u_1^2 + b_1^2}{u_1^2 + a_1^2}} du_1 = \\ &= \left((a_1^2 - b_1^2) u_1^2 \frac{(u_1^2 + a_1^2)^{-3/2}}{\sqrt{u_1^2 + b_1^2}} + \sqrt{\frac{u_1^2 + b_1^2}{u_1^2 + a_1^2}} \right) du_1. \end{aligned}$$

Стандартные преобразования дают

$$\begin{aligned} du &= \frac{(a_1^2 - b_1^2)u_1^2 + (u_1^2 + a_1^2)(u_1^2 + b_1^2)}{u_1^2 + a_1^2} \frac{du_1}{\sqrt{(u_1^2 + a_1^2)(u_1^2 + b_1^2)}} = \\ &= \frac{u_1^4 + 2a_1^2 u_1^2 + a_1^2 b_1^2}{u_1^2 + a_1^2} \frac{du_1}{\sqrt{(u_1^2 + a_1^2)(u_1^2 + b_1^2)}} = \text{правой части (2.4)}. \quad \square \end{aligned}$$

В числителе дифференциала du возник квадратный трёхчлен

$$u_1^4 + 2a_1^2 u_1^2 + a_1^2 b_1^2$$

от переменной u_1^2 . Его дискриминант оказывается квадратом:

$$a_1^4 - a_1^2 b_1^2 = a_1^2 (a_1^2 - b_1^2) = a_1^2 \left(\left(\frac{a+b}{2} \right)^2 - ab \right) = a_1^2 \frac{(a-b)^2}{4},$$

поэтому трёхчлен раскладывается на множители.

ЛЕММА 2. Выполнено равенство

$$u_1^4 + 2a_1^2 u_1^2 + a_1^2 b_1^2 = (u_1^2 + a_1 b)(u_1^2 + a_1 a).$$

Доказательство. Действительно,

$$u_1^4 + 2a_1^2 u_1^2 + a_1^2 b_1^2 = (u_1^2 + a_1^2)^2 - a_1^2 \cdot \frac{(a-b)^2}{4} =$$

$$\begin{aligned}
 &= \left(u_1^2 + a_1^2 - a_1 \cdot \frac{a-b}{2}\right) \left(u_1^2 + a_1^2 + a_1 \cdot \frac{a-b}{2}\right) = \\
 &= \left(u_1^2 + a_1 \left(a_1 - \frac{a-b}{2}\right)\right) \left(u_1^2 + a_1 \left(a_1 + \frac{a-b}{2}\right)\right) = (u_1^2 + a_1 b)(u_1^2 + a_1 a). \quad \square
 \end{aligned}$$

Учитывая полученное в лемме 2 разложение, перепишем связывающую дифференциалы формулу (2.4):

ЛЕММА 1'. *Выполнено равенство*

$$du = \frac{(u_1^2 + aa_1)(u_1^2 + ba_1)}{u_1^2 + a_1^2} \frac{du_1}{\sqrt{(u_1^2 + a_1^2)(u_1^2 + b_1^2)}}. \quad (2.4)'$$

Теперь преобразуем подкоренные сомножители исходного дифференциала.

ЛЕММА 3. *Имеют место равенства*

$$u^2 + a^2 = \frac{(u_1^2 + aa_1)^2}{u_1^2 + a_1^2}, \quad (2.5)$$

$$u^2 + b^2 = \frac{(u_1^2 + ba_1)^2}{u_1^2 + a_1^2}. \quad (2.6)$$

ДОКАЗАТЕЛЬСТВО. Преобразуем:

$$\begin{aligned}
 u^2 + a^2 &=_{(2.2)} \frac{u_1^2 + b_1^2}{u_1^2 + a_1^2} \cdot u_1^2 + a^2 = \\
 &= \frac{(u_1^2 + b_1^2)u_1^2 + (u_1^2 + a_1^2)a^2}{u_1^2 + a_1^2} = \frac{u_1^4 + (a^2 + b_1^2)u_1^2 + a^2a_1^2}{u_1^2 + a_1^2}. \quad (2.7)
 \end{aligned}$$

Дискриминант числителя (как многочлена от u_1^2) равен

$$(a^2 + b_1^2)^2 - 4a^2a_1^2 =_{(2.1)} (a^2 + ab)^2 - a^2(a+b)^2 = 0,$$

так что этот числитель — квадрат многочлена от u_1^2 . Действительно, продолжая преобразования, получаем

$$\begin{aligned}
 u^2 + a^2 &=_{(2.6)} \frac{\left(u_1^2 + \frac{a^2 + b_1^2}{2}\right)^2 + a^2a_1^2 - \left(\frac{a^2 + b_1^2}{2}\right)^2}{u_1^2 + a_1^2} = \\
 &= \frac{\left(u_1^2 + \frac{a^2 + ab}{2}\right)^2 + a^2a_1^2 - \left(\frac{a^2 + ab}{2}\right)^2}{u_1^2 + a_1^2} =_{(2.2)} \frac{(u_1^2 + aa_1)^2}{u_1^2 + a_1^2}.
 \end{aligned}$$

Аналогично

$$u^2 + b^2 =_{(2.2)} \frac{u_1^2 + b_1^2}{u_1^2 + a_1^2} \cdot u_1^2 + b^2 = \frac{(u_1^2 + b_1^2)u_1^2 + (u_1^2 + a_1^2)b^2}{u_1^2 + a_1^2} = \frac{u_1^4 + (b^2 + b_1^2)u_1^2 + b^2a_1^2}{a_1^2 + u_1^2}. \quad (2.8)$$

Снова вычисляя дискриминант, получаем

$$(b^2 + b_1^2)^2 - 4b^2a_1^2 \stackrel{(2.1)}{=} (b^2 + ab)^2 - b^2(a + b)^2 = 0,$$

так что этот числитель — тоже квадрат многочлена от u_1^2 . Продолжая, получаем

$$\begin{aligned} u^2 + b^2 &\stackrel{(2.8)}{=} \frac{\left(u_1^2 + \frac{b^2 + b_1^2}{2}\right)^2 + b^2a_1^2 - \left(\frac{b^2 + b_1^2}{2}\right)^2}{u_1^2 + a_1^2} = \\ &= \frac{\left(u_1^2 + \frac{b^2 + ab}{2}\right)^2 + b^2a_1^2 - \left(\frac{b^2 + ab}{2}\right)^2}{u_1^2 + a_1^2} \stackrel{(2.2)}{=} \frac{(u_1^2 + ba_1)^2}{u_1^2 + a_1^2}. \quad \square \end{aligned}$$

Соединяя (2.5) и (2.6), получаем

$$\sqrt{(u^2 + a^2)(u^2 + b^2)} = \frac{(u_1^2 + aa_1)(u_1^2 + ba_1)}{u_1^2 + a_1^2}. \quad (2.9)$$

Эта формула вместе с (2.4)' доказывает наше предложение. \square

§ 3. АЛГЕБРО-ГЕОМЕТРИЧЕСКИЙ СМЫСЛ ПОДСТАНОВКИ ГАУССА

Загадочная подстановка (2.2)

$$u = \sqrt{\frac{u_1^2 + b_1^2}{u_1^2 + a_1^2}} u_1 \quad (3.1)$$

должна найти объяснение!

Все преобразования § 2 имеют ясный геометрический смысл; он очень сложен, но довольно-таки далёк от школьной математики, поэтому объяснения получатся длинными.

3.0. ПОЯВЛЕНИЕ АЛГЕБРАИЧЕСКИХ КРИВЫХ

Начнём с ещё одного шага от анализа к алгебре (точнее, к алгебраической геометрии): если раньше мы перешли от определённого интеграла

$$\int_{-\infty}^{\infty} \frac{du}{\sqrt{(u^2 + a^2)(u^2 + b^2)}}$$

к неопределённому

$$\int \frac{du}{\sqrt{(u^2 + a^2)(u^2 + b^2)}},$$

— а точнее, про интегралы почти забыли и работали с дифференциалами — то теперь давайте сосредоточимся на знаменателе подынтегрального выражения. Попробуем дать ему имя:

$$v := \sqrt{(u^2 + a^2)(u^2 + b^2)}. \quad (3.2)$$

Если мы хотим оставаться в рамках вещественной математики, то никаких трудностей в работе с этим новым действующим лицом не видно: подкоренное выражение всегда неотрицательно.

Но тут мы должны честно предупредить читателя, что понять происходящее, видя только вещественные числа, абсолютно невозможно и нам в скором времени придётся выйти в комплексную область, а там функция $z \mapsto \sqrt{z}$ определена плохо.

Выход из этого затруднения весьма прост: возведём соотношение (3.2) в квадрат, получив a, b , в координатах u, v с параметрами a, b уравнение алгебраической кривой которую мы назовём

$$\mathring{E}_{a,b}: v^2 = (u^2 + a^2)(u^2 + b^2) \quad (3.3)$$

— это обозначение (в частности, две точки над именем кривой) скоро будет объяснено.

3.1. ИЗОГЕНИЯ ГАУССА

Теория кривых — богатый раздел алгебраической геометрии. Мы, однако, сразу обратимся к *отображениям* алгебраических кривых, причём весьма специального вида.

Наша ближайшая цель — установить связь между уравнением (3.3) и формулой (3.1). В координатах u_1, v_1 рассмотрим уравнение «другой» кривой

$$\mathring{E}_{a_1, b_1}: v_1^2 = (u_1^2 + a_1^2)(u_1^2 + b_1^2). \quad (3.4)$$

Теперь мы готовы сформулировать результат, объясняющий происходящее.

ТЕОРЕМА-ОПРЕДЕЛЕНИЕ. *Определено отображение алгебраических кривых*

$$\mathring{\gamma}_{a,b}: \mathring{E}_{a_1, b_1} \rightarrow \mathring{E}_{a,b}: (u_1, v_1) \mapsto \left(\frac{u_1 v_1}{u_1^2 + a_1^2}, \frac{u_1^4 + 2a_1^2 u_1^2 + a_1^2 b_1^2}{u_1^2 + a_1^2} \right).$$

Мы будем называть его изогенией Гаусса⁵⁾.

ВАЖНОЕ УТОЧНЕНИЕ. Фигурирующее в теореме отображение не требует комментариев над полем действительных чисел \mathbb{R} : оно всюду опре-

⁵⁾ Ни название, ни обозначение этого отображения не является общепринятым.

делено, поскольку при $a_1 \neq 0$ знаменатели *строго положительны*. Однако над произвольным полем — и прежде всего над особо интересующим нас полем комплексных чисел \mathbb{C} — отображение $\check{\gamma}_{a,b}$ не определено в точках $(u_1 = \pm ia_1, v_1 = 0)$. Временно мы будем рассматривать изогению Гаусса вне этих точек, а впоследствии доопределим её.

Доказательство. Прямая проверка:

$$\begin{aligned} v^2 &= \left(\frac{u_1^4 + 2a_1^2 u_1^2 + a_1^2 b_1^2}{u_1^2 + a_1^2} \right)^2 = \left(\frac{u_1^4 + 2\left(\frac{a+b}{2}\right)^2 u_1^2 + \left(\frac{a+b}{2}\right)^2 ab}{\left(\frac{a+b}{2}\right)^2 + u_1^2} \right)^2 \stackrel{?}{=} \\ &\stackrel{?}{=} \left(\left(\frac{u_1 v_1}{u_1^2 + a_1^2} \right)^2 + a^2 \right) \left(\left(\frac{u_1 v_1}{u_1^2 + a_1^2} \right)^2 + b^2 \right) \end{aligned}$$

или

$$\left(\frac{4u_1^4 + 2(a+b)^2 u_1^2 + (a+b)^2 ab}{4u_1^2 + (a+b)^2} \right)^2 \stackrel{?}{=} \left(\frac{u_1^2 v_1^2}{(u_1^2 + a_1^2)^2} + a^2 \right) \left(\frac{u_1^2 v_1^2}{(u_1^2 + a_1^2)^2} + b^2 \right).$$

Подставив в правую часть последнего равенства v_1^2 из уравнения (3.4), получим тождество, в которое входит только одна переменная u_1 :

$$\begin{aligned} \left(\frac{4u_1^4 + 2(a+b)^2 u_1^2 + (a+b)^2 ab}{4u_1^2 + (a+b)^2} \right)^2 &\stackrel{?}{=} \left(\frac{u_1^2 v_1^2}{(u_1^2 + a_1^2)^2} + a^2 \right) \left(\frac{u_1^2 v_1^2}{(u_1^2 + a_1^2)^2} + b^2 \right) \stackrel{(3.4)}{=} \\ &\stackrel{(3.4)}{=} \left(\frac{(u_1^2 + a_1^2)(u_1^2 + b_1^2)u_1^2}{(u_1^2 + a_1^2)^2} + a^2 \right) \left(\frac{(u_1^2 + a_1^2)(u_1^2 + b_1^2)u_1^2}{(u_1^2 + a_1^2)^2} + b^2 \right) = \\ &= \left(\frac{(u_1^2 + b_1^2)u_1^2}{u_1^2 + a_1^2} + a^2 \right) \left(\frac{(u_1^2 + b_1^2)u_1^2}{u_1^2 + a_1^2} + b^2 \right) = \\ &= \frac{(u_1^2 + b_1^2)u_1^2 + a^2(u_1^2 + a_1^2)}{u_1^2 + a_1^2} \cdot \frac{(u_1^2 + b_1^2)u_1^2 + b^2(u_1^2 + a_1^2)}{u_1^2 + a_1^2} = \\ &= \frac{(u_1^4 + (a^2 + b_1^2)u_1^2 + a^2 a_1^2)(u_1^4 + (b^2 + b_1^2)u_1^2 + b^2 a_1^2)}{(u_1^2 + a_1^2)^2}. \end{aligned}$$

Для завершения доказательства остаётся воспользоваться тождествами

$$u_1^4 + (a^2 + b_1^2)u_1^2 + a^2 a_1^2 = u_1^4 + (a^2 + ab)u_1^2 + a^2 \frac{(a+b)^2}{4} = \left(u_1^2 + \frac{a(a+b)}{2} \right)^2$$

и

$$u_1^4 + (b^2 + b_1^2)u_1^2 + b^2 a_1^2 = u_1^4 + (b^2 + ab)u_1^2 + b^2 \frac{(a+b)^2}{4} = \left(u_1^2 + \frac{b(a+b)}{2} \right)^2. \quad \square$$

ТЕОРЕМА. У каждой точки кривой $\check{\mathbb{E}}_{a,b}$ при изогении Гаусса $\check{\gamma}_{a,b}$ ровно два прообраза.

Два доказательства. Сначала наметим «школьный» вариант. Надо исследовать систему уравнений

$$\begin{cases} u = \frac{u_1 v_1}{u_1^2 + a_1^2}, \\ v = \frac{u_1^4 + 2a_1^2 u_1^2 + a_1^2 b_1^2}{u_1^2 + a_1^2} \end{cases}$$

относительно неизвестных u_1, v_1 . Второе уравнение является квадратным относительно u_1^2 , так что при ненулевом дискриминанте у него ровно два решения. Величина v_1 определится первым уравнением при условии $u_1^2 + a_1^2 \neq 0$. Рассмотрение особых случаев предоставляется читателю.

Теперь проведём «взрослое» доказательство. Впрочем, главное сообщение, на котором оно основано, вполне доступно школьнику:

Смена знаков обеих координат переводит кривые $\check{\mathbb{E}}_{a,b}$ и $\check{\mathbb{E}}_{a_1,b_1}$ в себя; при этой смене знаков образ точки $(u_1, v_1) \in \check{\mathbb{E}}_{a_1,b_1}$ при изогении Гаусса не меняется.

Иначе говоря, для любой точки $(u_1, v_1) \in \check{\mathbb{E}}_{a_1,b_1}$ верно, что

$$(-u_1, -v_1) \in \check{\mathbb{E}}_{a_1,b_1} \quad \text{и} \quad \check{\gamma}_{a,b}(u_1, v_1) = \check{\gamma}_{a,b}(-u_1, -v_1).$$

Теперь лемма мгновенно следует из теории Галуа. □

3.2. Эллиптические кривые

Мы собираемся разработать зрительные образы, связанные с кривыми $\check{\mathbb{E}}_{a_1,b_1}$ и $\check{\mathbb{E}}_{a,b}$; поскольку они принадлежат одному и тому же классу кривых, в дальнейшем мы будем говорить о $\check{\mathbb{E}}_{a,b}$.

Эти кривые называются *эллиптическими*, поскольку возникли при вычислении длины эллипса (см. введение).

Если эллипс задан уравнением

$$\frac{X^2}{A^2} + \frac{Y^2}{B^2} = 1,$$

то он допускает параметризацию ($X = A \cos t$, $Y = B \sin t$) и длина дуги такого эллипса, которую можно символически выразить в виде

$$\int \sqrt{(dX)^2 + dY^2},$$

задаётся интегралом

$$\int \sqrt{A^2 \sin^2 t + B^2 \cos^2 t} dt.$$

После замены переменной $s := \sin t$ он превращается в

$$\int \sqrt{B^2 + (A^2 - B^2)s^2} \frac{ds}{\sqrt{1-s^2}} = B \int \sqrt{1-k^2s^2} \frac{ds}{\sqrt{1-s^2}},$$

где $k^2 = (B^2 - A^2)/B^2$. Последний интеграл с точностью до множителя традиционно переписывается в виде

$$\int \frac{(1-k^2s^2) ds}{\sqrt{(1-s^2)(1-k^2s^2)}}$$

и распадается на два (они называются эллиптическими интегралами *первого* и *второго* рода). Один из них после очевидных преобразований (впрочем, невозможных в вещественной области) превращается в тот самый интеграл, которому посвящена настоящая статья.

Эллиптическая кривая

$$\mathbb{E}_k: v^2 = (1-u^2)(1-k^2u^2),$$

возникшая в результате этих вычислений (мы пользовались переменной s вместо u , чтобы не перепутать её с переменной в нашем основном интеграле) называется *квартикой Лежандра*.

Как мы видим, эллиптические кривые записываются (уже сотни лет) в разных формах; нам предстоит освоить ещё по крайней мере одну.

3.3. От квартик к кубикам

Некоторое время мы воздержимся от извлечения квадратных корней и от интегрирования, так что будем считать все переменные и коэффициенты многочленов принадлежащими произвольному *алгебраически замкнутому полю* (которое мы будем называть *основным полем*). Читатель, у которого это понятие вызывает затруднение, может считать, что мы работаем над полем комплексных чисел (только временно ограничиваемся четырьмя арифметическими операциями).

До сих пор мы работали с эллиптическими кривыми, задаваемыми уравнениями

$$v^2 = f_4(u), \tag{3.5}$$

где f_4 — многочлен 4-й степени; предположим, что он *не имеет кратных корней*. Рассмотренные нами многочлены даже были *чётны*, что облегчало рассмотрение симметрий (изогении определялись сменой знаков).

Следующий шаг может показаться техническим, но он весьма важен. Мы собираемся перейти от многочленов степени 4 к многочленам степени 3.

Пользуясь алгебраической замкнутостью основного поля, разложим правую часть уравнения (3.5) на множители:

$$v^2 = (u - \alpha_1)(u - \alpha_2)(u - \alpha_3)(u - \alpha_4); \quad (3.6)$$

согласно нашему предположению, все числа $\alpha_1, \alpha_2, \alpha_3, \alpha_4$ разные. Применим к уравнению (3.6) любое дробно-линейное преобразование

$$u \rightarrow \frac{au + b}{cu + d},$$

переводящее какой-либо из корней $\alpha_1, \alpha_2, \alpha_3, \alpha_4$ в бесконечно удалённую точку; нам удобно будет выбрать такое, что другой корень переведётся в 0. Иначе говоря, введём новую координату (где $m \neq 0$ остаётся в нашем распоряжении)

$$x := m \frac{u - \alpha_3}{u - \alpha_4}. \quad (3.7)$$

Исходная координата u легко выразится через неё:

$$u = \frac{\alpha_4 x - m \alpha_3}{x - m}. \quad (3.8)$$

Когда мы подставим соотношение (3.8) в уравнение (3.6), это уравнение (временно) утратит полиномиальность, превратившись в

$$v^2 = m(\alpha_3 - \alpha_4)^2 \frac{x((\alpha_1 - \alpha_4)x - m\alpha_1 + m\alpha_3)((\alpha_2 - \alpha_4)x - m\alpha_2 + m\alpha_3)}{(x - m)^4}, \quad (3.9)$$

или

$$v^2 = m \frac{\beta_{34}^2 x (\beta_{14} x - m\beta_{12}) (\beta_{24} x - m\beta_{23})}{(x - m)^4}, \quad (3.10)$$

где для краткости записи введены величины $\beta_{ij} = \alpha_i - \alpha_j$; отметим, что из несовпадения α_i следует

$$\beta_{34}^2 \beta_{14} \beta_{24} \neq 0, \quad (3.11)$$

т. е. в числителе правой части уравнения (3.10) стоит именно кубический многочлен. Полиномиальность уравнения рассматриваемой кривой восстанавливается, если ввести новую координату y соотношением

$$v = \frac{\lambda y}{(x - m)^2}, \quad (3.12)$$

где λ — константа, которую мы сейчас подберём. Подставив (3.12) в (3.10) и умножив полученное уравнение на $(x - m)^4$, придём к уравнению

$$\lambda^2 y^2 = m \beta_{34}^2 x (\beta_{14} x - m\beta_{12}) (\beta_{24} x - m\beta_{23}). \quad (3.13)$$

Подобрав подходящую константу λ (здесь мы очередной раз пользуемся алгебраической замкнутостью основного поля), мы придём к уравнению

$$y^2 = x(x - \gamma_1)(x - \gamma_2) \quad (3.14),$$

в которое, таким образом, преобразовалось исходное уравнение (3.6). Легко проверить, что преобразование координат (x, y) в координаты (u, v) , задаваемое уравнениями (3.8) и (3.12), обратимо. Остаётся (временное) затруднение, связанное с тем, что и это преобразование, и обратное ему не определены в конечном числе точек.

Обратимые преобразования, в обоих направлениях заданные рациональными функциями, называются *бирациональными*. Мы по существу показали, что *любая кривая, заданная уравнением $v^2 = f_4(u)$, бирационально эквивалентна кривой, заданной уравнением $y^2 = f_3(x)$, где f_3 и f_4 — многочлены степени 3 и 4, не имеющие кратных корней*. Проанализируем более детально эту бирациональную эквивалентность — обычно она называется *бирациональным изоморфизмом* — для наших кривых $\check{E}_{a,b}$.

3.4. ПРЕОБРАЗОВАНИЕ КВАРТИКИ $\check{E}_{a,b}$ В КУБИКУ $\check{E}_{a,b}$

В случае кривой $\check{E}_{a,b}$, заданной уравнением (3.3), имеем для уравнения в форме (3.5):

$$f_4(u) = (u^2 + a^2)(u^2 + b^2).$$

Начиная с этого места будем пропускать детали вычислений и приводить лишь ответы. Очень усердный читатель восстановит вычисления вручную, идя вслед за Гауссом и его толкователями XIX века; автор, однако, настоятельно рекомендует использовать современные системы компьютерной алгебры.

Проведённое в пункте 3.3 преобразование четверти $\check{E}_{a,b}$ в кубик $\check{E}_{a,b}$ использует *мнимую единицу* i ; можно считать, что мы стали работать над полем комплексных чисел, а можно — что мы выбрали (один из двух) элементов основного поля⁶⁾, удовлетворяющих равенству $i^2 = -1$.

Наше преобразование осуществляется формулами

$$x = -\frac{b(a+b)}{2} \frac{u-ia}{u-ib}, \quad y = \frac{ib(a^2-b^2)}{4} \frac{v}{(u-ib)^2}. \quad (3.15)$$

Мы готовы перейти к кубике, которая сыграет основную роль в понимании изогении Гаусса.

⁶⁾ Здесь надо предположить, что характеристика основного поля отлична от 2, т. е. $1 + 1 \neq 0$.

ТЕОРЕМА-ОБОЗНАЧЕНИЕ. Преобразование (3.15) переводит кривую $\dot{E}_{a,b}$, заданную, напомним, уравнением

$$v^2 = (u^2 + a^2)(u^2 + b^2),$$

в кривую⁷⁾ $\dot{E}_{a,b}$, заданную уравнением

$$y^2 = x(x + ab) \left(x + \frac{(a + b)^2}{4} \right). \quad (3.16)$$

ЗАМЕЧАНИЯ. (1) Уравнение кривой $\dot{E}_{a,b}$ легко запомнить: ненулевые корни его правой части — взятые с обратным знаком квадраты среднего арифметического и среднего геометрического от параметров кривой.

(2) Преобразование (3.15) не имеет смысла при $a = \pm b$: выражения для координат превращаются в константы. Поэтому над любым полем мы предполагаем $a \neq \pm b$.

(3) Преобразование не имеет смысла в характеристике 2, так что мы исключаем этот случай из рассмотрения.

(4) Преобразование *кажется* не имеющим смысла при $u = ib$, а обратное ему преобразование (выписать которое предлагается читателю) — при $x = -b(a + b)/2$. Однако это впечатление ложно, и мы сейчас с этим будем разбираться.

(5) Многочлен в правой части (3.16) при $a \neq \pm b$ не имеет кратных корней.

3.5. ПРОЕКТИВИЗАЦИЯ

До сих пор нам не требовалось обозначение для *основного поля*: мы просто проводили алгебраические операции над константами и координатами. *Теперь мы обозначим это поле традиционной буквой*⁸⁾ \mathbb{k} . Напомним, что мы считаем поле \mathbb{k} произвольным алгебраически замкнутым и предполагаем, что $\text{char}(\mathbb{k}) \neq 2$. Читатель в очередной раз может считать, что $\mathbb{k} = \mathbb{C}$, но это не облегчает понимание обсуждаемых алгебро-геометрических конструкций.

До сих пор мы считали рассматриваемые кривые подмножествами плоскости $\mathbb{k} \times \mathbb{k}$, которую теперь будем называть *аффинной* и обозначать

$$\mathbf{A}_2(\mathbb{k}) := \mathbb{k} \times \mathbb{k};$$

её подмножества, задаваемые полиномиальными уравнениями, мы теперь будем называть *аффинными кривыми*.

⁷⁾ Обратите внимание на количество точек над \mathbf{E} !

⁸⁾ От немецкого *Körper* — тело. Термин был предложен Р. Дедекиндом, чтобы подчеркнуть *целостность* (числовых) множеств, замкнутых относительно арифметических операций.

Аффинную плоскость будем считать подмножеством проективной: $A_2(\mathbb{k}) \hookrightarrow P_2(\mathbb{k})$. Проективная плоскость $P_2(\mathbb{k})$ — это следующее фактормножество:

$$P_2(\mathbb{k}) := \frac{(\mathbb{k} \times \mathbb{k} \times \mathbb{k}) \setminus \{(0, 0, 0)\}}{\mathbb{k}^\times},$$

где \mathbb{k}^\times — мультипликативная группа поля, действующая на тройки элементов поля покомпонентным умножением. Будем обозначать через $(x : y : z)$ орбиту элемента $(x, y, z) \in \mathbb{k} \times \mathbb{k} \times \mathbb{k}$; тогда вложение $A_2(\mathbb{k}) \hookrightarrow P_2(\mathbb{k})$ задаётся формулой

$$(x, y) \mapsto (x : y : 1).$$

Мы собираемся перейти от аффинных кривых к проективным. Для кривых $y^2 = f_3(x)$, где f_3 — многочлен без кратных корней, это сделать совсем легко; разберём случай

$$\dot{E}_{\gamma_1, \gamma_2} : y^2 = x(x - \gamma_1)(x - \gamma_2), \quad (3.17)$$

где $\gamma_1, \gamma_2 \in \mathbb{k} := \mathbb{k} \setminus \{0\}$ и $\gamma_1 \neq \gamma_2$. Согласно (3.16) и (3.17) кривая $\dot{E}_{\gamma_1, \gamma_2}$ превращается в $\dot{E}_{a, b}$ при

$$\gamma_1 = -ab, \gamma_2 = -\frac{(a+b)^2}{4}. \quad (3.18)$$

В проективной плоскости $P_2(\mathbb{k})$ мы будем пользоваться *однородными* координатами $(x : y : z)$, и в них аффинная плоскость $A_2(\mathbb{k}) \subset P_2(\mathbb{k})$ определяется условием $z \neq 0$. При этом условии имеет место равенство

$$(x : y : z) = \left(\frac{x}{z} : \frac{y}{z} : 1 \right)$$

и уравнение (3.17) можно переписать в виде

$$\left(\frac{y}{z} \right)^2 = \frac{x}{z} \left(\frac{x}{z} - \gamma_1 \right) \left(\frac{x}{z} - \gamma_2 \right). \quad (3.19)$$

Умножив это уравнение на z^3 , мы получим уравнение кривой в $P_2(\mathbb{k})$, которую обозначим

$$E_{\gamma_1, \gamma_2} : y^2 z = x(x - \gamma_1 z)(x - \gamma_2 z) \quad (3.20)$$

(обратите внимание на отсутствие точки над E !). Из определения вложения аффинной плоскости в проективную и из соотношения между аффинными координатами (x, y) и однородными $(x : y : z)$ следует, что

$$\dot{E}_{\gamma_1, \gamma_2} \subset E_{\gamma_1, \gamma_2}$$

и что в однородных координатах

$$\dot{E}_{\gamma_1, \gamma_2} = \{P \in E_{\gamma_1, \gamma_2} \mid z(P) \neq 0\}. \quad (3.21)$$

Подчеркнём, что хотя значение $z(P)$ координаты z в точке P определено лишь с точностью до ненулевого множителя, обращение $z(P)$ в нуль определено корректно.

Остаётся определить разность $E_{\gamma_1, \gamma_2} \setminus \dot{E}_{\gamma_1, \gamma_2}$. Для этого надо определить пересечение кривой E_{γ_1, γ_2} с так называемой *бесконечно удалённой прямой*

$$\ell_\infty: z = 0. \tag{3.22}$$

Это просто: подстановка (3.22) в (3.20) даёт

$$0 = x^3, \tag{3.23}$$

т. е. на пересечении $\ell_\infty \cap E_t$ выполнены два равенства: $x = 0$ и $z = 0$, а это возможно лишь в одной точке

$$\underline{\infty} := (0 : 1 : 0) \in \mathbf{P}_2(\mathbb{k}).$$

Мы установили, что

$$\ell_\infty \cap E_t = \{\underline{\infty}\}$$

(на самом деле формула (3.23) показывает, что это пересечение *трёхкратно*, но мы в настоящей статье не касаемся теории кратностей и лишь упомянем, что ℓ_∞ — одна из *прямых перегиба* кривой E_{γ_1, γ_2}). Кроме того, из проведённых рассуждений следует, что

$$\dot{E}_{\gamma_1, \gamma_2} = E_{\gamma_1, \gamma_2} \setminus \{\underline{\infty}\},$$

и мы наконец можем объяснить наше обозначение \dot{E} : точка над обозначением *проективной кривой* E означает *прокол*!

Итак, нам удалось реализовать *аффинную кубик* $\dot{E}_{a,b}$ как *проективную кубик* $E_{a,b}$ с одним проколом. Эта проективная кубика *гладка*; читателю предлагается сформулировать это свойство (или найти его в любом учебнике алгебраической геометрии); первоочередная задача — понять *топологию* этих кубик над \mathbb{C} ; это — одна из промежуточных целей нашего выхода из аффинной плоскости в проективную.

Однако наша окончательная цель — понимание бесконечной цепочки изогений $E_{a_{n+1}, b_{n+1}} \rightarrow E_{a_n, b_n}$ — потребует некоторых дополнительных средств.

3.6. Пополнение квартики $\ddot{E}_{a,b}$

Нам встречались и обозначения \dot{E} с *двумя* точками над обозначением кривой; разберём основной для нас случай кривых $\ddot{E}_{a,b}$. Здесь проективизация не даёт желаемого результата, поскольку «на бесконечности»

в $\mathbf{P}_2(\mathbb{k})$ кривая оказывается *особой*, т. е. негладкой (читатель может придать точный смысл этому утверждению и проверить его — или же принять на веру). Приходится идти другим путём.

Начнём с интуитивного соображения. Если u стремится к бесконечности, то константы в уравнении $v^2 = (u^2 + a^2)(u^2 + b^2)$ пренебрежимо малы по сравнению с u и выполняется приближённое уравнение $v^2 \approx u^4$, обладающее двумя приближёнными решениями $v \approx \pm u^2$. Это позволяет заподозрить, что существует *полная*⁹⁾ кривая $\mathbf{E}_{a,b}$ (скоро мы прокомментируем повторное использование этого обозначения) и две бесконечно удалённые точки на ней $\underline{\infty}^\pm \in \mathbf{E}_{a,b}$, такие, что

$$\check{\mathbf{E}}_{a,b} = \mathbf{E}_{a,b} \setminus \{\underline{\infty}^+, \underline{\infty}^-\}.$$

На интуитивном уровне мы объяснили использование обозначения $\check{\mathbf{E}}$ как имеющего смысл «два прокола».

Чтобы придать этому построению точный смысл, введём на кривой $\check{\mathbf{E}}_{a,b}$ новые *локальные* (т. е. имеющие смысл вне конечного множества) координаты

$$U := \frac{1}{u^2}, \quad V := \frac{v}{u^2}, \quad (3.24)$$

связанные соотношением

$$V^2 = (a^2U^2 + 1)(b^2U^2 + 1). \quad (3.25)$$

Добавим ещё две точки $O^\pm \in \check{\mathbf{E}}_{a,b}$ условиями

$$u(O^\pm) = 0, \quad v(O^\pm) = \pm ab. \quad (3.26).$$

Координаты (U, V) определены лишь на множестве $\check{\mathbf{E}}_{a,b} \setminus \{O^\pm\}$; зато, временно введя аффинную кривую $\check{\check{\mathbf{E}}}_{a,b}$, определённую уравнением (3.25), мы обнаружим на ней две точки, которые выше определялись неформально:

$$U(\underline{\infty}^\pm) = 0, \quad V(\underline{\infty}^\pm) = \pm 1. \quad (3.27)$$

Теперь мы можем определить *абстрактную* кривую

$$\mathbf{E}_{a,b} := \check{\mathbf{E}}_{a,b} \bigcup \check{\check{\mathbf{E}}}_{a,b},$$

где на каждой из объединяемых аффинных кривых подразумеваются свои локальные координаты, связанные на пересечении соотношениями (3.24).

По аналогии с вложением кубики в проективную плоскость может возникнуть желание вложить в какое-нибудь проективное простран-

⁹⁾ Для кривой это означает, что она определена всюду вне конечного множества значений координат.

ство (или в произведение проективных пространств) полученное объединение аффинных кривых. Сделать это можно, хотя очевидных решений, видимо, нет. Мы, однако, заниматься такими вложениями не будем: математики переходят от вложенных многообразий к абстрактным, начиная с Гаусса и Римана в XIX веке — когда, впрочем, алгебраические многообразия понимались в основном как вложенные в аффинные или проективные пространства; лишь в XX веке абстрактные многообразия стали основными. В настоящее время издано, а также выложено в интернет огромное количество учебников и лекционных курсов по современной алгебраической геометрии; русскоязычному читателю естественно порекомендовать [7], где он найдёт и определение полного многообразия.

Мы позволили себе отождествить рассматриваемое объединение двух аффинных кватрик с проективной кубикой не только потому, что они *изоморфны*. Читателю предлагается проверить, что формула (3.15) (относительно которой отмечалось, что соответствующее отображение только кажется неопределённым в некоторых точках) на самом деле определяет изоморфизм пополненных кривых $E_{ab} \xrightarrow{\cong} E_{ab}$. Главная причина заключается в том, что мы становимся на упомянутую только что современную точку зрения: считаем, что речь идёт об *одной и той же* кривой, только *реализованной* по-разному (в одном случае вложение в проективное пространство предьявлено, в другом — нет).

3.7. Кватрика или кубика?

Каждая из реализаций имеет свои достоинства.

(а) Кватрика $\tilde{E}_{a,b}$ обладает редким для эллиптических кривых свойством: на ней сразу видны целых восемь точек! Помимо уже введённых четырёх, бросаются в глаза точки с u -абсциссами $\pm ia$ и $\pm ib$; дадим этим новым точкам легко запоминающиеся имена A^\pm и B^\pm . Полный список выделенных точек и их координат представлен в табл. 1.

Здесь (x, y) -координаты точек вычисляются по формулам (3.15). На кубике $E_{a,b}$ точки O^\pm и ∞^\pm в глаза не бросаются.

(б) На кватрике действует *четверная группа Клейна* $C_2 \times C_2$, состоящая, помимо тождественного отображения, из инволюций $(u, v) \mapsto (-u, v)$, $(u, v) \mapsto (u, -v)$ и $(u, v) \mapsto (-u, -v)$. Отметим, что все они сохраняют наши 8 точек. Наиболее важна для нашего основного сюжета инволюция

$$\iota: (u, v) \mapsto (-u, -v),$$

не имеющая неподвижных точек.

Таблица 1

Точка	x	y	u	v	U	V
B^+	∞	∞	ib	0	$-\frac{i}{b}$	0
B^-	$-\left(\frac{a+b}{2}\right)^2$	0	$-ib$	0	$\frac{i}{b}$	0
A^-	$-ab$	0	$-ia$	0	$\frac{i}{a}$	0
A^+	0	0	ia	0	$-\frac{i}{a}$	0
O^+	$-\frac{a(a+b)}{2}$	$\frac{-ia(a^2-b^2)}{4}$	0	ab	∞	∞
O^-	$-\frac{a(a+b)}{2}$	$\frac{ia(a^2-b^2)}{4}$	0	$-ab$	∞	∞
$\underline{\infty}^+$	$-\frac{b(a+b)}{2}$	$\frac{ib(a^2-b^2)}{4}$	∞	∞	0	1
$\underline{\infty}^-$	$-\frac{b(a+b)}{2}$	$\frac{-ib(a^2-b^2)}{4}$	∞	∞	0	-1

(в) Кубика $\dot{E}_{a,b}$ — гладкая аффинная кривая, дополненная в проективной плоскости единственной точкой B^+ (признаемся — случайно выбранной из четырёх точек A^\pm, B^\pm), тоже гладкой на проективном замыкании $E_{a,b} \subset P_2(\mathbb{k})$.

(г) На любой кубике E имеется структура абелевой группы (E, \oplus) . Эта структура однозначно определяется правилом для $P, Q, R \in E$:

$$P \oplus Q \oplus R = 0_E \Leftrightarrow P, Q \text{ и } R \text{ коллинеарны}^{10)}$$

и правилом выбора нейтрального элемента $0_E =: O \in E$. Эта классическая теория достаточно сложна, см. введение в неё, например, в [6]. В случае кубики, заданной уравнением $y^2 = f_3(x)$, в качестве нейтрального элемента традиционно выбирают «бесконечно удалённую» точку $O \in E \setminus \dot{E}$. Для нашей кривой мы в соответствии с этой традицией произведём переименование

$$B^+ =: O \in E_{a,b}.$$

Школьной математики (теорем Виета...) достаточно, чтобы выписать сложение \oplus формулами в координатах. Однако формулы получаются до-

¹⁰⁾ В случае совпадения двух точек проходящая через них прямая заменяется на касательную к E , а в случае совпадения трёх — на её прямую перегиба.

Таблица 2

Сложение $P \oplus Q$

$Q \backslash P$	O	B^-	A^-	A^+	O^+	O^-	$\underline{\infty}^+$	$\underline{\infty}^-$
O	O	B^-	A^-	A^+	O^+	O^-	$\underline{\infty}^+$	$\underline{\infty}^-$
B^-	B^-	O	A^+	A^-	O^-	O^+	$\underline{\infty}^-$	$\underline{\infty}^+$
A^-	A^-	A^+	O	B^-	$\underline{\infty}^-$	$\underline{\infty}^+$	O^-	O^+
A^+	A^+	A^-	B^-	O	$\underline{\infty}^+$	$\underline{\infty}^-$	O^+	O^-
O^+	O^+	O^-	$\underline{\infty}^-$	$\underline{\infty}^+$	B^-	O	A^-	A^+
O^-	O^-	O^+	$\underline{\infty}^+$	$\underline{\infty}^-$	O	B^-	A^+	A^-
$\underline{\infty}^+$	$\underline{\infty}^+$	$\underline{\infty}^-$	O^-	O^+	A^-	A^+	B^-	O
$\underline{\infty}^-$	$\underline{\infty}^-$	$\underline{\infty}^+$	O^+	O^-	A^+	A^-	O	B^-

статочно длинные¹¹⁾, и мы их не приводим. Тем не менее настоятельно рекомендуем читателю воспользоваться имеющимися техническими средствами, чтобы получать эти формулы и «нажатием кнопки» проверять наши утверждения, которые приводятся без обоснования.

Восемь выделенных нами (с помощью *квартики*) точек образуют *подгруппу!*

Если посмотреть на левую верхнюю четверть табл. 2, то видно, что множество $\{O, B^-, A^\pm\}$ составляет 4-элементную группу точек *порядка* 2, а правая нижняя четверть с учётом левой верхней показывает, что все восемь — точки *порядка* 4. (Для поля C скоро станет очевидно, что наша 8-элементная группа — половина 16-элементной группы точек *порядка* 4.)

3.8. Групповая интерпретация изогений Гаусса

Теперь пора вспомнить, что нас интересует не одна кривая $E_{a,b}$, а изогения Гаусса

$$E_{a_1, b_1} \xrightarrow{\gamma_{a,b}} E_{a,b}$$

или, ещё лучше, — последовательность изогений

$$\dots \xrightarrow{\gamma_{a_2, b_2}} E_{a_2, b_2} \xrightarrow{\gamma_{a_1, b_1}} E_{a_1, b_1} \xrightarrow{\gamma_{a_0, b_0}} E_{a_0, b_0},$$

— мы просто добавляем индексы $n = 0, 1, 2, \dots$ к введённым ранее обозначениям параметров, координат, точек, кривых и морфизмов. Предполага-

¹¹⁾ Например, прямая проверка *ассоциативности* операции \oplus весьма громоздка, и вместо неё обычно используются нетривиальные геометрические конструкции — см. [6].

ется, что параметры $\{a_n, b_n\}$ связаны соотношениями $a_{n+1} = (a_n + b_n)/2$ и $b_{n+1}^2 = a_n b_n$ (поскольку мы продолжаем работать над почти произвольным полем, мы нехитрым трюком избежали извлечения корней¹²⁾). Прямые вычисления показывают, что каждая изогения $\gamma_{a_n, b_n} : \mathbf{E}_{a_{n+1}, b_{n+1}} \rightarrow \mathbf{E}_{a_n, b_n}$ преобразует координаты кубики следующим образом:

$$x_n = \frac{4x_{n+1}(x_{n+1} + a_{n+1}b_{n+1})}{4x_{n+1} + (a_{n+1} + b_{n+1})^2},$$

$$y_n = -\frac{4y_{n+1}(2x_{n+1} + a_{n+1}^2 + a_{n+1}b_{n+1})(2x_{n+1} + b_{n+1}^2 + a_{n+1}b_{n+1})}{(4x_{n+1} + (a_{n+1} + b_{n+1})^2)^2}.$$

Небольшой прогресс по сравнению с изогениями в координатах кватрик, которые мы взялись прояснить! Формулы стали только длиннее...

Но здесь нас и выручит групповая структура на кубиках. Подставляя в эти ужасные формулы координаты наших восьми точек, мы можем убедиться, что изогении Гаусса ведут себя очень просто:

$$B_{n+1}^\pm \mapsto B_n^+, \quad A_{n+1}^\pm \mapsto A_n^+, \quad O_{n+1}^\pm \mapsto B_n^-, \quad \infty_{n+1}^\pm \mapsto A_n^-.$$

Оказывается, они обладают своеобразным свойством «чётности»: в очевидных обозначениях $\gamma_{a_n, b_n}(X^+) = \gamma_{a_n, b_n}(X^-)$. Это свойство следует сопоставить с не сразу бросающимся в глаза свойством приведённой выше таблицы сложения 8-элементной группы:

прибавление точки B^- «меняет знак»!

Вспомним теперь инволюции без неподвижных точек, которые здесь естественно обозначить ι_n и которые меняют знаки в прямом смысле слова (т. е. действуют по формуле $(u_n, v_n) \mapsto (-u_n, -v_n)$), и отождествить её и отождествим их с прибавлением B^- (это, как и многое другое, представляется читателю). Тогда обсуждаемый факт можно сформулировать более традиционно:

$$\gamma_{a_n, b_n} \circ \iota_n = \gamma_{a_n, b_n},$$

или¹³⁾

$$\forall P \in \mathbf{E}_{a_n, b_n} \quad [\gamma_{a_n, b_n}(P \oplus B_n^-) = \gamma_{a_n, b_n}(P)].$$

Мы вплотную подошли к разгадке тайны изогении Гаусса. Приведённые формулировки по существу равносильны следующему результату:

¹²⁾ Гаусс работал также со случаем $a_n, b_n \in \mathbb{C}$, и преодоление неоднозначности извлечения корней из комплексных чисел привело его к замечательным теориям, сильно опередившим его время, — см. [2].

¹³⁾ Проверив прямым вычислением или выводом из каких-нибудь общих теорем, что такое соотношение достаточно проверить лишь на нескольких точках.

ТЕОРЕМА. Каждая изогения Гаусса представляет собой факторизацию по двухэлементной группе

$$\gamma_{a_n, b_n} : E_{a_{n+1}, b_{n+1}} \rightarrow \frac{E_{a_{n+1}, b_{n+1}}}{\{O_{n+1}, B_{n+1}^-\}} \cong E_{a_n, b_n}. \quad \square$$

Краткая формулировка найдена. Осталось придать ей наглядность.

§ 4. ТРАНСЦЕНДЕНТНЫЙ СМЫСЛ ИЗОГЕНИИ ГАУССА

В этом последнем параграфе основным полем является $\mathbb{k} = \mathbb{C}$. Мы чуть-чуть коснёмся большой классической теории, взяв из неё лишь то, что нужно для наших целей.

4.0. Решётки в \mathbb{C} и факторы по ним

Будем называть *решёткой* любую дискретную подгруппу ранга 2 аддитивной группы комплексных чисел. Иначе говоря, дискретное подмножество $\Lambda \subset \mathbb{C}$ — решётка, если $0 \in \Lambda$, $\Lambda + \Lambda \subset \Lambda$, $-\Lambda = \Lambda$ и имеет место изоморфизм групп $(\Lambda, +) \simeq \mathbb{Z} \times \mathbb{Z}$.

Мы введём обозначение $\dot{\mathbb{C}} := \mathbb{C} \setminus \{0\}$ и для решётки Λ соответственно $\dot{\Lambda} = \Lambda \setminus \{0\}$. Для $k \in \dot{\mathbb{C}}$ решётки Λ и $k\Lambda$ называются *подобными*. Любая решётка представима (не единственным образом) в виде $\Lambda = \mathbb{Z}\lambda_1 + \mathbb{Z}\lambda_2$, где $\lambda_1, \lambda_2 \in \dot{\mathbb{C}}$ и $\lambda_1/\lambda_2 \notin \mathbb{R}$. Из класса подобных решёток принято выбирать представитель вида $\Lambda = \mathbb{Z}\tau + \mathbb{Z}$, где $\text{Im}(\tau) > 0$. Нам предстоит работать с *прямоугольными* решётками такого вида, где τ будет чисто мнимым числом. В частности, исходным примером для Гаусса была *квадратная* решётка с $\tau = i$.

Фактор комплексной плоскости по решётке гомеоморфен тору. Этот факт особенно несомненен в случае прямоугольных решёток (которыми мы только и будем заниматься) в традиционной нормировке: *фундаментальная область* такой решётки — прямоугольник, и сдвиг по мнимой образующей решётки $z \mapsto z + \tau$ отождествляет горизонтальные стороны прямоугольника, а сдвиг по вещественной образующей $z \mapsto z + 1$ отождествляет вертикальные.

Особенно важно осмыслить не только фактор, но и *морфизм факторизации*

$$\mathbb{C} \rightarrow \frac{\mathbb{C}}{\Lambda}.$$

Предлагается воспринимать его как комплексный аналог морфизма

$$\mathbb{R} \rightarrow \frac{\mathbb{R}}{2\pi\mathbb{Z}},$$

в котором тор заменяется на (тригонометрическую) окружность, а сам морфизм осуществляется парой функций (\cos, \sin) . Об аналоге этой пары функций мы сейчас бегло расскажем¹⁴⁾.

4.1. \wp -ФУНКЦИЯ ВЕЙЕРШТРАССА

Подробнее с материалом этого пункта можно познакомиться по книге [4].

Для любого $k \in \{2, 3, 4, \dots\}$ введём ряды Эйзенштейна — функции решёток

$$G_k(\Lambda) := \sum_{\lambda \in \Lambda} \frac{1}{\lambda^{2k}} \quad \text{и} \quad g_2(\Lambda) := 60G_2(\Lambda), \quad g_3(\Lambda) := 140G_3(\Lambda).$$

Главное действующее лицо — мероморфная¹⁵⁾ \wp -функция

$$\wp_\Lambda(z) := \frac{1}{z^2} + \sum_{\lambda \in \Lambda} \left(\frac{1}{(z-\lambda)^2} - \frac{1}{\lambda^2} \right).$$

Её Λ -периодичность не совсем очевидна, но следует из её чётности и очевидной Λ -периодичности её производной

$$\wp'_\Lambda(z) = -2 \sum_{\lambda \in \Lambda} \frac{1}{(z-\lambda)^3}.$$

(аналогичная сумма для самой \wp -функции расходилась бы).

Оказывается, \wp -функция для любой решётки Λ удовлетворяет дифференциальному уравнению (тоже Вейерштрасса)

$$(\wp'_\Lambda(z))^2 = 4\wp_\Lambda(z)^3 - g_2(\Lambda)\wp_\Lambda(z) - g_3(\Lambda),$$

а это, с точностью до простых аффинных преобразований, — уравнение рассмотренных нами кубик, так что пара функций $(\wp_\Lambda, \wp'_\Lambda)$ действительно аналогична паре (\cos, \sin) .

Вернёмся к нашим кубикам $\mathring{E}_{a,b}$, которые заданы, напомним, уравнением

$$y^2 = x(x+ab) \left(x + \left(\frac{a+b}{2} \right)^2 \right),$$

где $a \geq b > 0$ согласно (2.0). Случай $a=b$ тривиален. При $a > b > 0$ получаем $-\left(\frac{a+b}{2}\right)^2 < -ab < 0$. Можно показать, что возникают два периода:

$$\text{вещественный} \quad \int_{-\left(\frac{a+b}{2}\right)^2}^{-ab} \frac{dx}{y} \quad \text{и} \quad \text{мнимый} \quad i \int_{-ab}^0 \frac{dx}{\sqrt{-y^2}}$$

¹⁴⁾ Главное отличие заключается в том, что решётка $\mathbb{Z} \subset \mathbb{R}$ единственна, а классы подобия решёток $\Lambda \subset \mathbb{C}$ зависят от одного комплексного параметра.

¹⁵⁾ А именно, имеющая полюсы второго порядка в точках решётки Λ .

(при $b \rightarrow a \neq 0$ вещественный период, очевидно, стремится к нулю, а мнимый — к ненулевому мнимому числу). Решётка Λ , соответствующая кривой $E_{a,b}$, порождена этими периодами.

Аффинные преобразования, приводящие используемые нами уравнения кривых $\tilde{E}_{a,b}$ к требуемому виду

$$Y^2 = 4X^3 - g_2X - g_3,$$

достаточно громоздки, и мы ограничимся случаем квадратной решётки, в котором $a = a_0 = \sqrt{2} + 1$, $b = b_0 = \sqrt{2} - 1$, а уравнения кривой имеют вид

$$y^2 = x(x + 1)(x + 2), \quad v^2 = u^4 + 6u^2 + 1.$$

Здесь из соображений симметрии $G_3 = g_3 = 0$, а

$$G_2 = \sum_{(m,n) \in (\mathbb{Z} \times \mathbb{Z}) \setminus \{(0,0)\}} \frac{1}{(m + ni)^4} = \frac{\varpi^4}{15} \approx 3,151,$$

$$g_2 = 60G_2 = 4\varpi^4 \approx 189,070.$$

Требуемое преобразование имеет вид

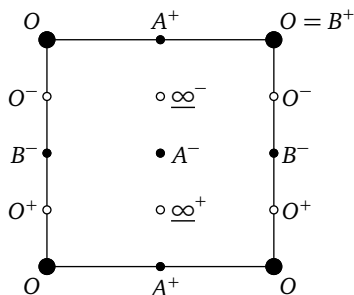
$$X := \frac{x}{\varpi^2} - 1, \quad Y := \frac{y}{2\varpi^3}.$$

Значения всех координат представлены в табл. 3.

Таблица 3

Точка	x	y	X	Y	z
$O = B^+$	∞	∞	∞	∞	0
B^-	-2	0	$\approx -6,875$	0	$\frac{i}{2}$
A^-	-1	0	0	0	$\frac{1+i}{2}$
A^+	0	0	$\approx 6,875$	0	$\frac{1}{2}$
O^+	$-2 - \sqrt{2} \approx -3,414$	$(-2 - \sqrt{2})i$	$\approx -16,598$	$\approx -123,097i$	$\frac{i}{4}$
O^-	$-2 - \sqrt{2} \approx -3,414$	$(2 + \sqrt{2})i$	$\approx -16,598$	$\approx 123,097i$	$\frac{3i}{4}$
$\underline{\infty}^+$	$-2 + \sqrt{2} \approx -0,585$	$(2 - \sqrt{2})i$	$\approx 2,847$	$\approx 21,119i$	$\frac{1}{2} + \frac{i}{4}$
$\underline{\infty}^-$	$-2 + \sqrt{2} \approx -0,585$	$-(2 - \sqrt{2})i$	$\approx 2,847$	$\approx -21,119i$	$\frac{1}{2} + \frac{3i}{4}$

В единичном квадрате на комплексной плоскости эти точки расположены так:



4.2. ФАКТОРИЗАЦИЯ $\mathbb{C} \rightarrow \frac{\mathbb{C}}{\Lambda}$

Проверим, что аналогичные преобразования определены и в общем случае, т. е. уравнения наших аффинных кубик \dot{E} имеют вид

$$Y^2 = 4X^3 - g_2X - g_3,$$

а проективные с уравнением

$$Y^2Z = 4X^3 - g_2XZ^2 - g_3Z^3$$

получаются заклеиванием единственного прокола $O = (0 : 1 : 0)$,

$$\dot{E} = E \setminus \{O\}.$$

ТЕОРЕМА. Голоморфное отображение $(\wp_\lambda, \wp'_\lambda): \mathbb{C} \setminus \Lambda \rightarrow \dot{E}$ является неразветвлённым накрытием и продолжается до голоморфного отображения $(\wp_\lambda : \wp'_\lambda : 1): \mathbb{C} \rightarrow E$. Последнее отображение является гомоморфизмом групп $(\mathbb{C}, +) \rightarrow (E, \oplus)$ с ядром Λ .

Доказательство см. [4]. □

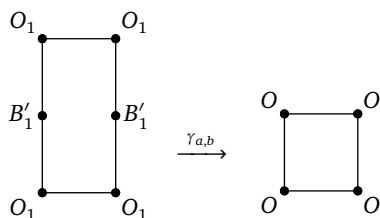
4.3. ПОДРЕШЁТКИ И ИЗОГЕНИИ

Для $d \in \mathbb{N}$ назовём d -изогенией голоморфное отображение $E' \rightarrow E$ комплексных эллиптических кривых, которое является гомоморфизмом групп и при котором у каждой точки $P \in E$ имеется ровно d прообразов.

Из приведённых результатов легко вытекает, что

если $E = \frac{\mathbb{C}}{\Lambda}$ — произвольная комплексная эллиптическая кривая, то d -изогении $E' \rightarrow E$ находятся в естественном взаимно однозначном соответствии с подрешётками $\Lambda' \subset \Lambda$ индекса d .

При $d = 2$ с учётом вещественной структуры на $E_{a,b}$ получаем обещанную визуализацию изогении Гаусса:



Удивительна её простота в сравнении с формулами, которые её определяют!

§ 5. ЗАКЛЮЧЕНИЕ

Приведя сначала прямое решение задачи о равенстве двух интегралов, оказавшееся необычайно громоздким, мы затем использовали эту задачу как повод рассказать о нескольких разделах классической математики в современных терминах, стараясь подтвердить слова Гаусса о *совершенно новой области анализа*, приведённые в конце § 1. Оказалось, что найденная Ланденом и Гауссом загадочная подстановка в эллиптическом интеграле может быть объяснена простыми и естественными конструкциями, если развить некоторые понятия топологии, алгебраической геометрии и теории функций комплексной переменной.

Автор надеется, что читатель, впервые встретившийся с этими понятиями, заинтересуется ими, но останется не удовлетворён уровнем изложения, принятым в статье, и захочет глубже изучить их. Многочисленные доступные в наше время учебники, статьи и материалы курсов разного уровня популярности предоставляют такую возможность.

Как и всякая хорошая задача, решённая в статье задача из «Математического просвещения» 2017 года, допускает разнообразные обобщения и аналоги, в том числе связанные с открытыми проблемами. Возможно, один из лучших способов освоить упомянутую в статье классику — включиться в активные исследования, продолжающиеся по сей день в *совершенно новой области анализа*.

СПИСОК ЛИТЕРАТУРЫ

- [1] Borwein J. M., Borwein P. B. Pi and the AGM — A Study in Analytic Number Theory and Computational Complexity. New York: Wiley, 1987.
- [2] Cox D. A. The arithmetic-geometric mean of Gauss // L'Enseignement Mathématique. 1984. Vol. 30. P. 275–330.

- [3] *Gauss C. F. Werke*, III. Göttingen, 1876.
- [4] Гурвиц А., Курант Р. Теория функций. М.: Наука, 1968.
- [5] Математическое просвещение. Сер. 3. Вып. 21. М.: МЦНМО, 2017.
- [6] Острик В. В., Цфасман М. А. Алгебраическая геометрия и теория чисел: рациональные и эллиптические кривые. М.: МЦНМО, 2001.
- [7] Шафаревич И. Р. Основы алгебраической геометрии. М.: МЦНМО, 2007.